

## WYZNACZANIE ZMIAN STAŁYCH SPRĘŻYSTOŚCI MATERIAŁU WYSTĘPUJĄCYCH NA GRUBOŚCI MODELU GIPSOWEGO

JÓZEF WRANIK (GLIWICE)

### 1. Wstęp

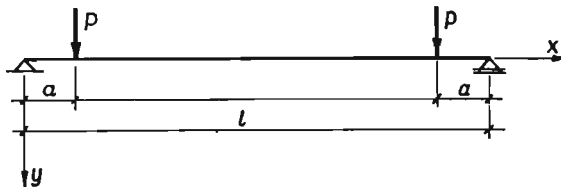
Wartości naprężeń w elementach konstrukcji budowlanych znajdowane na drodze pomiarów odkształceń modeli gipsowych, przy niewystarczającej znajomości cech sprężystych materiału modelowego mogą mieć znaczne błędy. Zauważono to w pracach doświadczalnych na modelach gipsowych swobodnie podpartych tarcz prostokątnych o skokowej zmianie grubości. Wyniki badań znacznie różniły się od wyników otrzymywanych sposobami: analitycznym i elastooptycznym.

W celu wyjaśnienia przyczyny tych rozbieżności przeprowadzono badania zmiany stałych sprężystości  $E$  i  $\nu$  na grubości płyt gipsowych. Badania wykazały, że płyty gipsowe wykonywane sposobem opisanym w dalszej części pracy są niejednorodne.

Na fakt zmiany modułu sprężystości zwrócono już uwagę w pracach [1] i [2], jednakże zjawisko to nie zostało ujęte ilościowo. W pracy niniejszej podany jest sposób ustalania zmiany modułu sprężystości  $E$ , zachodzącej wzdłuż wysokości przekroju płyty gipsowej.

### 2. Sposób określania zmiany wartości modułu sprężystości $E$ na grubości elementu modelu gipsowego

Do odlewania płyt gipsowych zastosowano zaczyn o wysokim stosunku wagowym wody do gipsu, a więc zupełnie płynny. Zaczyn ten wylewano na poziomą płytę szklaną. W czasie wiązania opóźnionego przez dodany inhibitor, następuje sedymentacja cząstek.

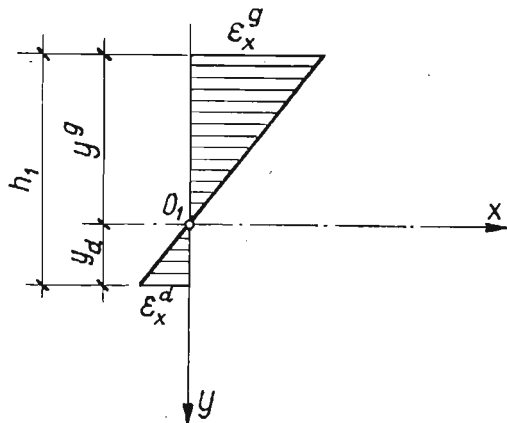


Rys. 1

Sedymentacja ta oraz różne warunki wiązania na powierzchni płyty gipsowej i od strony dna formy powodują, że moduł sprężystości  $E$  nie jest jednakowy na całej grubości płyty i zmienia się według pewnej funkcji.

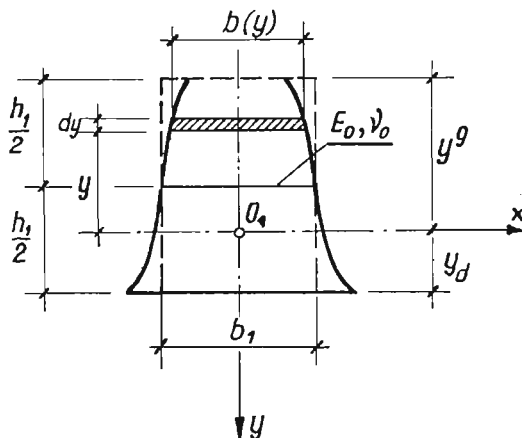
Określenia zróżnicowania modułu sprężystości  $E$  na grubości płyty gipsowej dokonamy na wyciętej z tej płyty belce, poddanej czystemu zginaniu momentem  $M = Pa$  (rys. 1).

W przekrojach dostatecznie odległych od strefy przyłożenia sił zachowana jest zasada płaskich przekrojów. Wykres odkształceń  $\varepsilon_x$  jest więc liniowy (rys. 2). W związku ze zmianą cech sprężystości na wysokości przekroju poprzecznego belki oś obojętna nie leży w połowie wysokości  $h_1$ .



Rys. 2

Zmianę modułu sprężystości  $E(y)$  gipsu wzdłuż wysokości belki o szerokości  $b_1$  można zastąpić w obliczeniach zmianą szerokości  $b(y)$  belki o stałej wartości  $E_0$  (rys. 3). Porównawczy moduł sprężystości  $E_0$  musi mieć wartość dowolnie wybraną spośród rzeczywistych wartości, występujących w przekroju. Do dalszych rozważań wybieramy wartość modułu sprężystości  $E_0$  w połowie wysokości przekroju.



Rys. 3

Zależność między modułem sprężystości  $E(y)$  a zastępczą szerokością  $b(y)$  opisuje wzór

$$(1.1) \quad b(y) = \frac{b_1}{E_0} E(y).$$

Naprężenia występujące w belce o szerokości  $b_1$  i zmiennej wartości modułu  $E(y)$  równają się

$$(1.2) \quad \sigma_x(y) = \frac{My}{J_1} \cdot \frac{b(y)}{b_1},$$

lub

$$(1.2a) \quad \sigma_x(y) = \frac{My}{J_1} \cdot \frac{E(y)}{E_0},$$

gdzie wprowadzono zastępczy moment bezwładności

$$(1.3) \quad J_1 = \int_{y_d}^{y_g} b(y)y^2 dy = \frac{b_1}{E_0} \int_{y_d}^{y_g} E(y)y^2 dy.$$

Odkształcenie  $\varepsilon_x(y)$  wyraża się następująco

$$(1.4) \quad \varepsilon_x(y) = \frac{\sigma_x(y)}{E(y)} = \frac{My}{J_1} \cdot \frac{E(y)}{E_0} \cdot \frac{1}{E(y)} = \frac{My}{E_0 J_1}.$$

Odkształcenia  $\varepsilon_x(y)$  są liniowe i osiągają zero dla  $y = 0$ . Otrzymać je możemy z pomiarów tensometrycznych, przeprowadzonych dla określonego momentu zginającego  $M$ . We wzorze (1.4) nieznanne są zatem wielkości  $E_0$  oraz  $J_1$ .

Aby je wyznaczyć przeprowadzimy kilka pomiarów belek o coraz mniejszych wysokościach, otrzymywanych przez zdejmowanie zewnętrznych warstw badanej belki.

Z pierwszego pomiaru odkształceń  $\varepsilon_{x,1}$  belki o pełnej wysokości  $h_1$  otrzymujemy jej rzeczywistą sztywność na zginanie

$$(1.5) \quad E_0 J_1 = \frac{My}{\varepsilon_{x,1}},$$

przy czym  $E_0$  i  $J_1$  są w dalszym ciągu nieznanne. Ponadto ustalamy przy pierwszym pomiarze punkt  $(0_1)$  osi obojętnej czyli zerowych odkształceń.

Następnie zdejmujemy cienkie warstwy o jednakowych grubościach  $\delta_1$ , z góry i z dołu belki. Otrzymujemy w ten sposób belkę o zmienionej wysokości  $h_2 = h_1 - 2\delta_1$  i pewnej sztywności  $E_0 J_2$ .

Dla belki tej dokonujemy pomiaru odkształceń, uzyskując wartości  $\varepsilon_{x,2}$  oraz położenie punktu  $(0_2)$  o zerowej wartości odkształcenia. Jeżeli punkt  $0_2$  nie znajduje się w połowie wysokości  $h_2$ , ponownie zmniejszamy wysokość belki, mierzymy odkształcenia i ustalamy położenie punktu o zerowej wartości odkształcenia.

Postępujemy tak do chwili, gdy oś obojętna znajdzie się w połowie wysokości belki.

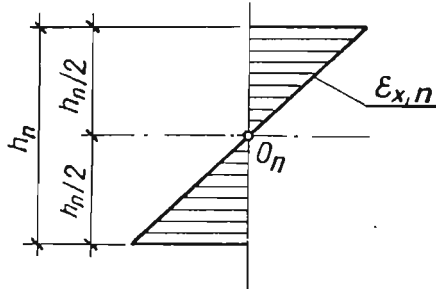
Załóżmy w dalszym ciągu, że w ostatnim  $n$ -tym pomiarze wykres odkształceń przedstawia się, jak na rys. 4, tzn. odkształcenia osiągają wartość zerową w połowie zredukowanej wysokości  $(h_n)$  belki. Możemy wówczas obliczyć wartość momentu bezwładności  $J_n$ , jak dla belki prostokątnej o stałej wartości  $E_0$

$$(1.6) \quad J_n = \frac{h_n^3 b_1}{12},$$

a następnie ze wzoru (1.4) obliczyć

$$(1.7) \quad E_0 = \frac{My}{\varepsilon_{x,n} J_n} = \frac{M}{\varepsilon_{x,n}^g J_n} \cdot \frac{h_n}{2},$$

gdzie  $M$  — moment zginający, jakim obciążono belkę o wysokości zredukowanej z wartości  $h_1$  do  $h_n$ ,  $\varepsilon_{x,n}^g$  — zmierzone odkształcenie w odległości  $y^g = \frac{h_n}{2}$  od środka, odpowiadające momentowi  $M$ .

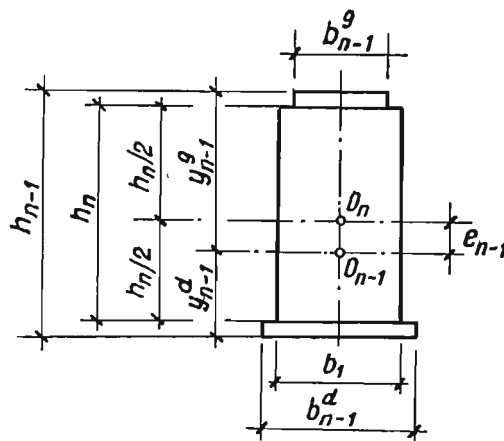


Rys. 4

Ze wzoru (1.7) obliczyć możemy moduł  $E_0$ , a tym samym dla poprzedzającego  $(n-1)$ -szego pomiaru, możemy obliczyć  $J_{n-1}$  według wzoru

$$(1.8) \quad J_{n-1} = \frac{1}{E_0} \frac{My_{n-1}^g}{\varepsilon_{x,n-1}^g} = \frac{1}{E_0} \cdot \frac{My_{n-1}^d}{\varepsilon_{x,n-1}^d}.$$

Wielkości ze wskaźnikami  $g$  lub  $d$  dotyczą odpowiednio górnych i „dolnych” skrajnych włókien belki.



Rys. 5

Jeżeli ciągłą funkcję  $b(y)$  przedstawioną na rys. 3 zastąpimy wykresem zmieniającym się w sposób skokowy (rys. 5 i 6), wtedy przekrój belki użytej do  $(n-1)$ -szego pomiaru obliczymy z dwu następujących warunków:

a) moment statyczny przekroju belki względem osi przechodzącej przez punkt  $O_{n-1}$  jest równy zeru,

b) moment bezwładności przekroju belki względem punktu  $O_{n-1}$  jest równy obliczonemu ze wzoru (1.8) momentowi bezwładności  $J_{n-1}$ .

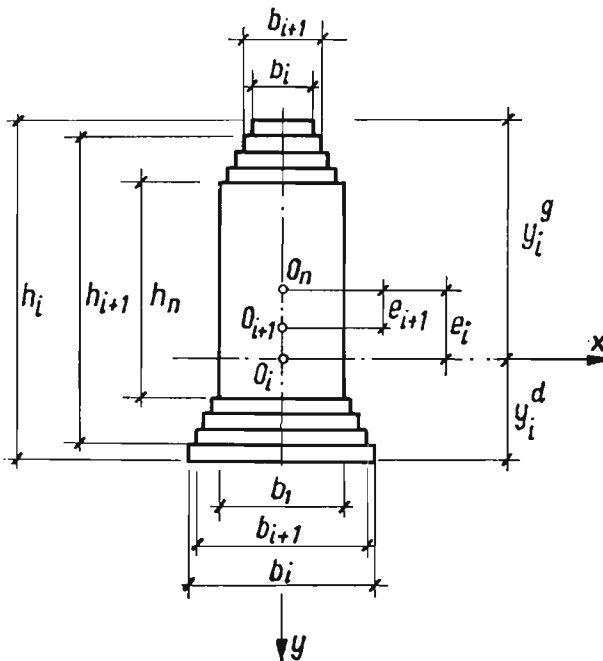
Z obu warunków otrzymujemy układ równań (1.9).

$$(1.9a) \quad \left( y_{n-1}^g - \frac{1}{2} \delta_{n-1} \right) b_{n-1}^g - \left( y_{n-1}^d - \frac{1}{2} \delta_{n-1} \right) b_{n-1}^d = - \frac{1}{\delta_{n-1}} F_n \cdot e_{n-1},$$

$$(1.9b) \quad \left[ \frac{\delta_{n-1}^2}{12} + \left( y_{n-1}^g - \frac{1}{2} \delta_{n-1} \right)^2 \right] b_{n-1}^g + \left[ \frac{\delta_{n-1}^2}{12} + \left( y_{n-1}^d - \frac{1}{2} \delta_{n-1} \right)^2 \right] b_{n-1}^d = \\ = (J_{n-1} - J_n - F_n \cdot e_{n-1}^2) \frac{1}{\delta_{n-1}},$$

gdzie  $F_n = b_1 \cdot h_n$

Z układu równań (1.9) obliczyć można  $b_{n-1}^g$  i  $b_{n-1}^d$ .



Rys. 6

Wartości odkształceń belki użytej do  $i$ -tego pomiaru pozwolą obliczyć wartości  $b_i^g$  i  $b_i^d$  według wzorów (1.10).

Otrzymany w ten sposób  $i$ -ty zastępczy przekrój przedstawiono na rys. 6. Występujące we wzorach (10) wielkości  $J_{i+1}$ ,  $F_{i+1}$  otrzymano z obliczeń belki dla  $(i+1)$ -szego pomiaru.

$$(1.10a) \quad \left( y_i^g - \frac{1}{2} \delta_i \right) b_i^g - \left( y_i^d - \frac{1}{2} \delta_i \right) b_i^d = - F_{i+1} (e_i - e_{i+1}) \frac{1}{\delta_i},$$

$$(1.10b) \quad \left[ \frac{\delta_i^2}{12} + \left( y_i^g - \frac{1}{2} \delta_i \right)^2 \right] b_i^g + \left[ \frac{\delta_i^2}{12} + \left( y_i^d - \frac{1}{2} \delta_i \right)^2 \right] b_i^d = \\ = [J_i - J_{i+1} - F_{i+1}(e_i - e_{i+1})^2] \frac{1}{\delta_i},$$

gdzie  $J_i = \frac{1}{E_0} \cdot \frac{M y_i^g}{\varepsilon_{x,i}^g}$  — moment bezwładności przekroju belki dla  $i$ -tego pomiaru,  
 $J_{i+1} = \frac{1}{E_0} \cdot \frac{M y_{i+1}^g}{\varepsilon_{x,i+1}^g}$  — moment bezwładności przekroju, belki dla  $(i+1)$ -szego pomiaru,

$\delta_i$  — grubości kolejno zdejmowanych warstw,

$F_{i+1}$  — pole przekroju poprzecznego belki dla  $(i+1)$ -szego pomiaru.

Przejścia od szerokości zastępczej  $b(y)$  do modułu sprężystości  $E(y)$  dokonujemy za pomocą wzoru (1.1).

Zmiany wartości współczynnika Poissona  $\nu$  określamy na podstawie kolejnych pomiarów odkształceń jako

$$(1.11) \quad \nu_i^g = \frac{\varepsilon_{z,i}^g}{\varepsilon_{x,i}^g}, \\ \nu_i^d = \frac{\varepsilon_{z,i}^d}{\varepsilon_{x,i}^d},$$

gdzie  $\varepsilon_{z,i}^g, \varepsilon_{z,i}^d$  — odkształcenia mierzone w kierunku prostopadłym do płaszczyzny  $x, y$  na górnej i dolnej powierzchni belki.

### 3. Przykład liczbowy wyznaczania zmiany modułu sprężystości $E$ w płycie gipsowej

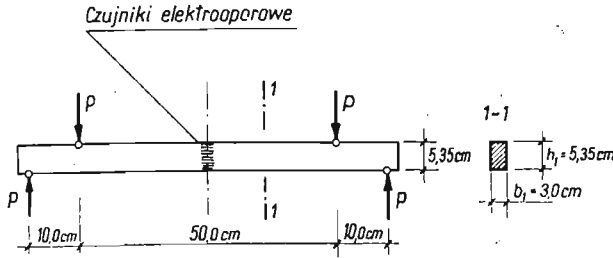
Dla ilustracji omówionego sposobu przeprowadzono pomiary na belce wyciętej z płyty gipsowej, przechowywanej w suchym pomieszczeniu przez okres około 6 miesięcy.

Płyty gipsowe wykonano z zaczynu gipsowego o stosunku wagowym  $w: g = 0,6$  z dodatkiem cytrynianu sodowego w ilości 0,04%. Składniki te wymieszano za pomocą mieszarki elektrycznej i wlewano przez sito o oczkach 1 mm<sup>2</sup> do formy otwartej górną, ułożonej poziomo na płycie szklanej. Około pół godziny po napełnieniu formy, kiedy woda stojąca na powierzchni zaczynała gwałtownie wsiąkać w płytę, rozbierano formę, a płytę po paru godzinach przenoszono do suchego pomieszczenia. Na skutek powstawania menisku wypukłego w wypełnionej po brzegi zaczynem formie oraz pęcznienia zaczynu gipsowego w czasie wiązania, płyty uzyskiwały grubości większe od wysokości formy. Płyty miały grubość 5,35 cm.

Pomiarów odkształceń  $\varepsilon_x$  belki gipsowej wyciętej z płyty dokonywano dla trzech różnych wartości momentu zginającego. Dla każdej wartości momentu zginającego wykonywano trzy serie odczytów. Uzyskano w ten sposób 9 serii odczytów, z których obliczono średnią wartość odkształcenia w każdym punkcie pomiarowym.

W celu ustalenia zmian modułu  $E(y)$  oraz współczynnika Poissona  $\nu(y)$  przeprowadzono metodą tensometrii elektrooporowej pomiary na belce gipsowej przedstawionej na rys. 7.

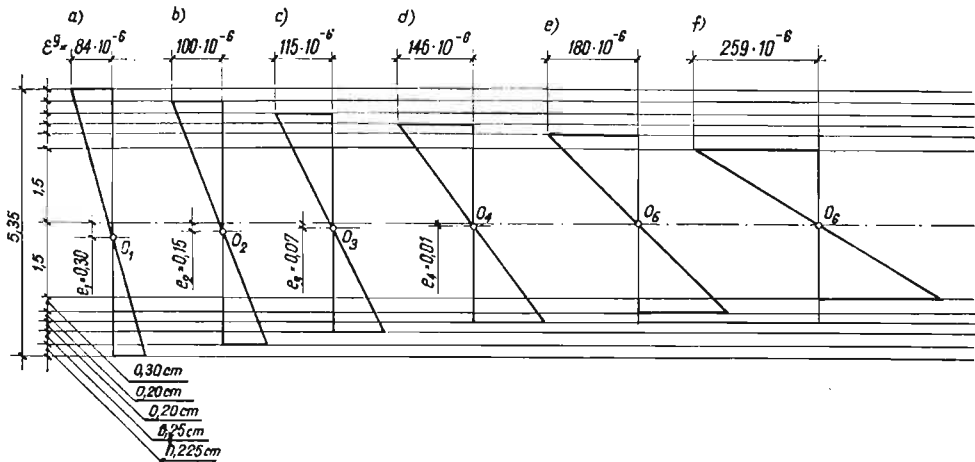
Na każdej z bocznych ścian belki naklejono wzdłuż pionowej osi symetrii 9 czujników, na jej górnej zaś i dolnej powierzchni po dwa czujniki, prostopadłe względem siebie usytuowane. Czujniki na bocznych ścianach służyły do kontroli prostoliniowości przebiegu odkształceń.



Rys. 7

Wyniki pomiarów odkształceń dla przekroju w stanie początkowym przedstawiono na wykresie (rys. 8a).

Następnie zdjęto z góry i z dołu warstwę o grubości  $\delta_1 = 2,25$  mm, naklejono ponownie czujniki i dokonano pomiarów odkształceń, uzyskując ich wykres (rys. 8b). Dla następnych kolejno zdejmowanych warstw o grubościach  $\delta_i = 2,5$  mm, 2 mm i 2 mm dokonano pomiarów i sporządzono wykresy odkształceń. Przedstawiono to na rysunkach 8c, 8d i 8e.



Rys. 8

Przy piątym pomiarze odkształcenia osiągnęły wartość zerową w połowie wysokości belki. Dla kontroli przeprowadzono jeszcze pomiar szósty, którego wyniki pokrywały się z wynikami pomiaru piątego.

Na podstawie pomiaru piątego obliczono

$$J_3 = \frac{3,6^3 \cdot 3}{12} = 11,65 \text{ cm}^4 \quad \text{według (1.7),}$$

$$E_0 = \frac{100 \cdot 1,8}{11,65} \cdot \frac{1}{180 \cdot 10^{-6}} = 85,8 \cdot 10^3 \text{ kG/cm}^2,$$

$$F_3 = 3,6 \cdot 3 = 10,8 \text{ cm}^2.$$

Wartość momentu bezwładności  $J_4$  w pomiarze czwartym obliczono na podstawie znalezionych wartości  $J_3$ ,  $E_0$  i  $F_3$  ze wzoru (1.8)

$$J_4 = \frac{1}{85,5 \cdot 10^3} \cdot \frac{100 \cdot 2,01}{146 \cdot 10^{-6}} = 16,05 \text{ cm}^4.$$

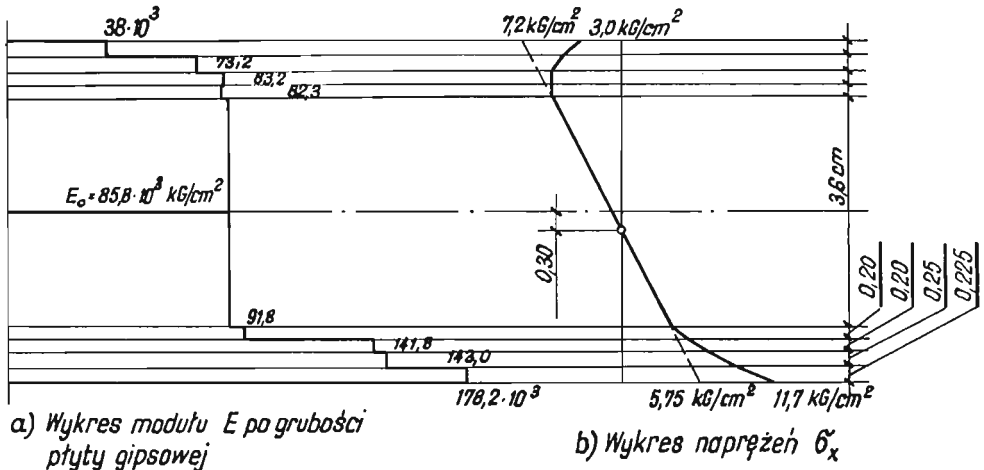
Na podstawie wzorów (1.10a) i (1.10b) otrzymano układ równań

$$1,91 b_4^q - 1,89 b_4^d = -0,54,$$

$$3,65 b_4^q - 3,58 b_4^d = 22,0,$$

z których obliczono  $b_4^q = 2,88 \text{ cm}$ ;  $b_4^d = 3,21 \text{ cm}$ ;  $F_4 = 12,02 \text{ cm}^2$ .

Wartości  $J_4$ ,  $b_4$  i  $F_4$  stanowią podstawę do obliczania wartości  $J_3$ ,  $b_3^q$ ,  $b_3^d$  i  $F_3$ .



Rys. 9

Otrzymuje się  $J_3 = 23,0 \text{ cm}^4$  oraz układ równań

$$2,17 b_3^q - 2,03 b_3^d = -3,61,$$

$$4,71 b_3^q - 4,12 b_3^d = 34,4,$$

z których obliczono  $b_3^q = 2,91 \text{ cm}$ ;  $b_3^d = 4,96 \text{ cm}$ ;  $F_3 = 13,60 \text{ cm}^2$ .

W podobny sposób obliczono pozostałe wartości:

$$b_2^q = 2,56 \text{ cm}; \quad b_2^d = 5,00 \text{ cm},$$

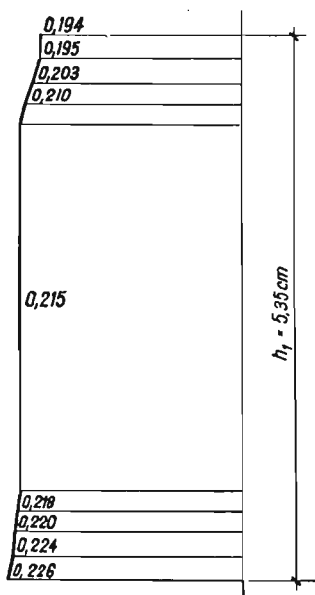
$$b_1^q = 1,33 \text{ cm}; \quad b_1^d = 6,23 \text{ cm}.$$



Na podstawie wartości  $b_l^q$  i  $b_l^d$  obliczono według (1.1) odpowiednie wartości rzeczywistych modułów sprężystości podłużnej  $E_l^q$  i  $E_l^d$ .

Wykres zmiany modułu  $E$  w badanej płycie na jej grubości przedstawiono na rys. 9a. Odpowiada temu wykres  $\sigma_x$  w rozpatrywanej belce o zmiennym module sprężystości  $E(y)$ , przedstawiony na rys. 9b, dla  $M = 100 \text{ kGcm}$ .

Na rys. 10 przedstawiono wykres zmiany współczynnika Poissona  $\nu(y)$ .



Rys. 10

Na podstawie przeprowadzonych badań można stwierdzić, że po zdjęciu zewnętrznych warstw płyty gipsowej, otrzymuje się płytę o strukturze zbliżonej do jednorodnej. W wykonywanym doświadczeniu aby otrzymać płytę jednorodną trzeba było z płyty o grubości 5,35 cm zdjąć z każdej strony warstwę grubości ok. 0,88 cm.

Orientacyjnie można przyjąć, że płyty gipsowe przeznaczone na elementy modelu jednorodnego powinny się wykonać o grubości około 1,5-krotnie większej od wymaganej grubości elementów modelu gipsowego. Wniosek ten dotyczy płyt o znacznych grubościach.

#### Literatura cytowana w tekście

1. W. STAROSOLSKI, A. AJDUKIEWICZ, J. DENKIEWICZ, *Współczynnik sprężystości i odkształcenia graniczne przy zginaniu w zależności od inhibitorów i ilości wody zarobowej dla gipsu modelowego*, Cement, Wapno, Gips, 6 (1965).
2. W. STAROSOLSKI, A. AJDUKIEWICZ, J. DENKIEWICZ, *Badanie własności gipsu jako materiału do modelowania konstrukcji*, Archiwum Inżynierii Lądowej, 8, 1 (1967).

## Резюме

ОПРЕДЕЛЕНИЕ ИЗМЕНЕНИЙ УПРУГИХ ПОСТОЯННЫХ МАТЕРИАЛА  
ПО ТОЛЩИНЕ ГИПСОВОЙ МОДЕЛИ

В работе рассмотрено опытное определение упругих постоянных  $E$  и  $\nu$  в толще гипсовой пластинки, получаемой путем сливания жидкого гипсового раствора на горизонтальную стеклянную пластину. Структура получаемого таким образом гипса неоднородна.

Предлагается метод определения упругих постоянных  $E$  и  $\nu$  по толщине пластинки, состоящий в измерении деформаций изгиба балки, вырезанной из этой пластинки.

## Summary

DETERMINATION OF CHANGES OF ELASTIC MATERIAL CONSTANTS OCCURING ACROSS  
THE THICKNESS OF A PLASTER MODEL

The paper is dealing with experimental determination of elastic constants  $E$  and  $\nu$  in a plaster plate produced by pouring the liquid plaster paste over a horizontal glass panel. The structure of such a plate is non-homogeneous. On the basis of strain measurements of a plaster beam cut out of such a plate and subjected to bending, the variation of elastic moduli  $E$  and  $\nu$  across the thickness of the plaster plate can be determined.

POLITECHNIKA ŚLĄSKA

*Praca została złożona w Redakcji dnia 3 maja 1972 r.*

---